

微柱离心 - HPLC法测定六甲蜜胺脂质体包封率^{*}

高晓非¹, 邓英杰^{1**}, 曹金娜¹, 王秀敏²

(1. 沈阳药科大学药学院, 沈阳 110016; 2. 厦门大学医学院药学系, 厦门 361005)

摘要 目的: 对六甲蜜胺脂质体进行质量评价, 建立六甲蜜胺脂质体包封率的测定方法。方法: 采用(凝胶)微柱离心法分离游离药物与脂质体; 利用流动相: 甲醇 - 乙腈 - 水 (50 : 35 : 15); 柱温: 30℃; 流速: 0.8 mL · min⁻¹; 紫外检测波长: 228 nm 的 HPLC 条件测定六甲蜜胺的含量, 最终计算得包封率。结果: 微柱离心法能够将 100% 的空白脂质体和小于 3.5% 的游离药物洗脱下来, 游离药物与脂质体可被分离, 游离药物基本上被截留于微柱中。在本法选择的色谱条件下, 六甲蜜胺得到良好的分离, 辅料不干扰测定, 六甲蜜胺在 2.0 ~ 40.0 mg · L⁻¹ 内线性关系良好 ($r=0.9996$), 日内和日间 RSD 均 < 2.0% ($n=5$), 加样回收率在 97.9% ~ 98.5% 之间 (RSD < 2.0%, $n=5$)。用该方法测得 3 份六甲蜜胺脂质体的包封率在 82.49% ~ 86.56% 之间 (RSD 均 < 2.0%, $n=3$)。结论: 本方法可用于测定六甲蜜胺脂质体包封率。

关键词: 微柱离心; 高效液相色谱法; 六甲蜜胺; 脂质体; 包封率

中图分类号: R917

文献标识码: A

文章编号: 0254 - 1793 (2009) 02 - 0247 - 03

Minicolumn centrifugation - HPLC determination of entrapment efficiency for liposomal formulation of altretamine^{*}

GAO Xiao - fei¹, DENG Ying - jie^{1**}, CAO Jin - na¹, WANG Xiu - min²

(1. Shenyang Pharmaceutical University Pharmacy College, Shenyang 110016, China;

2. Xiamen University Medical College Pharmacy Department, Xiamen 361005, China)

Abstract Objective: To establish a method for determining the entrapment efficiency and estimating the quality control of altretamine liposomes. **Methods:** The minicolumn was employed to separate the free drug from the liposomes. The content of altretamine was quantified by HPLC. The mobile phase consisted of methanol - acetonitrile - water (50 : 35 : 15) was pumped through the system at a rate of 0.8 mL · min⁻¹ at 30℃. The UV - detector was set at 228 nm. **Results:** The liposomes were well separated using minicolumn centrifugation by which free altretamine could be absorbed. A calibrated linear curve of altretamine concentration was within 2.0 - 40.0 mg · L⁻¹ ($r=0.9996$), and within - day and between - days RSD were all less than 2.0% ($n=5$), the recovery rate of altretamine with blank liposomes was in a range of 97.9% - 98.5% with RSD of 1.4% or below ($n=5$). The entrapment efficiency of three batches of altretamine liposomes was in a range of 82.49% - 86.56%, with RSD < 2.0% ($n=3$) by minicolumn centrifugation - HPLC. **Conclusion:** The minicolumn centrifugation - HPLC may be used for the determination of entrapment efficiency of altretamine liposomes.

Key words: minicolumn centrifugation; HPLC; altretamine liposomes; entrapment efficiency

六甲蜜胺 (altretamine, hexamethylmelamine, HMM) 是需要代谢活化的细胞毒类抗肿瘤药物^[1], 其代谢中间产物可作为烷化剂而产生抗肿瘤作用, 但其与传统的烷化剂并没有产生交叉耐药。近几年来的临床研究发现, 六甲蜜胺对卵巢癌、肺癌、乳腺癌、恶性淋巴瘤有肯定的疗效, 特别是在对晚期卵巢

癌的研究中^[2], 发现六甲蜜胺有较好的临床应用价值^[1~4]。六甲蜜胺为脂溶性药物, 水溶性很差, 临床多用口服给药, 但其生物利用度低^[5,6], 且有胃肠反应, 血液毒性, 神经毒性等毒副作用。脂质体是近年来研究比较广泛的一种给药载体^[7], 将六甲蜜胺包封于脂质体中, 可以保护药物稳定性, 又可降低毒副

* 国家自然科学基金 (30672555) 资助

** 通讯作者 Tel: (024) 23986311; Fax: (024) 23917603; E-mail: dengyingjie45@yahoo.com.cn

作用,增加药物缓释作用,增强与细胞的亲和性,从而提高生物利用度。

1 仪器与试药

高效液相色谱仪(Waters Model 510泵和SPD-10A VP紫外检测器,N2000色谱工作站),UV-9100紫外分光光度仪(北京瑞利分析仪器公司),葡聚糖凝胶G-50(Pharmacia),混合纤维素滤膜(上海市新亚净化器总厂),六甲密胺原料药(纯度99.5%,江苏清江药业有限公司,批号060118),大豆磷脂(上海太伟药业),胆固醇(天津博迪化工有限公司),六甲密胺脂质体(自制),甲醇和乙腈(色谱纯,江苏汉邦科技有限公司),其他试剂均为分析纯。

2 色谱条件

色谱柱:Kromasil ODS柱(250 mm×4.6 mm,5 μm,Lubex);流动相:甲醇-乙腈-水(50:35:15);柱温:30℃;流速:0.8 mL·min⁻¹;紫外检测波长:228 nm;进样量:20 μL。

3 六甲密胺脂质体制备

精密称取六甲密胺20 mg,大豆磷脂200 mg,胆固醇20 mg,用2 mL无水乙醇溶解,匀速注入到10 mL pH 7.4的磷酸盐缓冲液中,40℃下以40 r·min⁻¹搅拌并减压蒸发除去乙醇,即得六甲密胺脂质体粗品。在压力0.5 MPa、室温条件下通过0.22 μm微孔滤膜挤出,即得六甲密胺脂质体。空白脂质体制备除了不加入六甲密胺其他同上。

4 专属性试验

精密量取空白脂质体及六甲密胺脂质体各0.1 mL,以流动相稀释定容至10 mL量瓶中,分别进样分析,结果见图1-A、C。精密称取六甲密胺原料药10.0 mg,用流动相配制浓度为200 mg·L⁻¹的六甲密胺储备液,精密量取储备液0.5 mL,用流动相稀释至10 mg·L⁻¹,进样分析,结果见图1-B。

5 线性关系考察

分别精密量取对照品储备液0.1,0.5,1.0,1.5,2.0 mL于10 mL量瓶中,以流动相定容,按照上述色谱条件进样检测。每份溶液进样3次,记录色谱图和峰面积,绘制标准曲线,以六甲密胺质量浓度(C)对峰面积(A)做线性回归,六甲密胺质量浓度在2.0~40.0 mg·L⁻¹内呈良好线性关系,回归方程为:

$$C = 2.086 \times 10^{-6} A - 0.4771 \quad r = 0.9996$$

6 精密度试验

分别精密量取六甲密胺储备液0.1,1.0,2.0

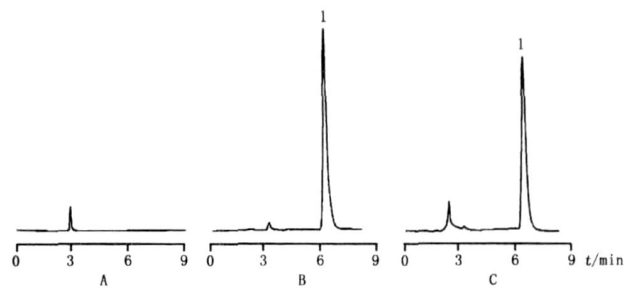


图1 空白脂质体(A)、六甲密胺对照液(B)和六甲密胺脂质体(C)色谱图

Fig 1 HPLC chromatograms of blank liposome (A), altretamine control (B) and altretamine liposome (C)

1. 六甲密胺 (altretamine)

mL于10 mL量瓶中,以流动相定容,进样测定,一日内早、午、晚各测定5次,并连续5日上午测定,计算日内精密度和日间精密度。结果表明在该色谱条件下,RSD<5%,精密度良好。见表1。

表1 HPLC测定六甲密胺的日内日间精密度

Tab 1 Within-day and between-day precisions and accuracies of HPLC determination for altretamine

added /mg·L ⁻¹	日内 (within-day), n=15		日间 (between-day), n=5	
	found /mg·L ⁻¹	RSD /%	found /mg·L ⁻¹	RSD /%
2	1.92	1.8	1.91	1.9
20	19.84	0.77	19.95	0.83
40	39.25	0.68	39.52	0.75

7 加样回收率试验

精密量取空白脂质体0.1 mL于10 mL量瓶中,依次准确加入六甲密胺储备液0.1,1,2 mL,以流动相定容,每种浓度溶液制备5份,分别测定,计算回收率,结果低、中、高浓度回收率(n=5)分别为98.5%,98.4%,97.9%;RSD分别为1.4%,0.84%,1.2%。

8 葡聚糖凝胶G-50微柱对空白脂质体的吸附作用^[8,9]

5 mL针管(除去助推器)中均匀填满用生理盐水溶胀完全的葡聚糖凝胶G-50,再用生理盐水冲洗2~3个柱床体积,1000 r·min⁻¹离心1 min除去多余水分,得自制微型葡聚糖凝胶柱(简称微柱)。取空白脂质体0.5 mL,上样于自制微柱中,1000 r·min⁻¹离心2 min,收集离心液,再补加生理盐水0.5 mL,1000 r·min⁻¹离心2 min,将离心液合并,用生理盐水定容至10 mL,于500 nm处测定上柱前后空白脂质体的吸收度值,考察葡聚糖凝胶G-50对空白脂质体的吸附情况^[8,9],结果3次测定,上柱后与上柱前空白脂质体的吸收度比值分别为

101.0%, 98.77%, 101.3%; 平均值为 (100.4 ± 1.382) %。表明葡聚糖凝胶 G - 50 对空白脂质体基本无吸附作用。

9 葡聚糖凝胶 G - 50 微柱对六甲蜜胺的吸附作用

称取六甲蜜胺 20 mg (为制剂中浓度的 20 倍) 加入 0.5 mL 空白脂质体中^[8,9], 上样于自制的微型柱中, 1000 r · min⁻¹ 离心 2 min, 再补加一定量的生理盐水, 再次离心, 合并滤液, 精密吸取滤液 0.5 mL, 流动相定容至 10 mL, 进样测定未被柱子吸附的游离药。3 次测定, 上样后游离药物与上样前加入的药物质量之比分别为 3.022%, 2.571%, 3.051%; 平均值为 (2.881 ± 0.269) %。由此可知葡聚糖凝胶 G - 50 可以将游离药物基本吸附截留。

10 包封率的测定

取六甲蜜胺脂质体 0.5 mL 上样于自制葡聚糖凝胶 G - 50 微型柱中, 1000 r · min⁻¹ 离心 2 min, 补加生理盐水 0.5 mL, 再次离心, 合并滤液。精密量取该滤液 0.2 mL, 用流动相稀释定容至 10 mL 进样分析, 计算被包封药物含量 m_{in} ; 精密量取未过柱的六甲蜜胺脂质体 0.1 mL, 用流动相稀释定容至 10 mL 进样分析, 计算脂质体中药物总含量 m_{tot} , 并计算包封率 = $m_{in} / m_{tot} \times 100\%$ 。结果包封率在 82.49% ~ 86.56% 之间, RSD 均 < 2.0% ($n=3$)。

11 讨论

测定包封率的方法虽然很多, 但是适用于脂溶性药物的方法却不多。用凝胶过滤法测定包封率时, 脂质体被稀释的倍数较大 (100 ~ 200 倍), 且不易确定稀释倍数, 给下一步的测定带来不便。超滤法一般适合于水溶性药物, 脂溶性药物会被吸附在超滤膜上, 影响包封率测定结果。国内外报道过的微柱离心法^[8,9], 利用强脂溶性游离药物可以被葡聚糖凝胶 G - 50 牢牢吸附, 而两亲性的脂质体, 可以在微型柱离心过程中随生理盐水流的特点, 最终将游离药物与脂质体分离。本文利用这种方法结合 HPLC 建立了测定六甲蜜胺脂质体包封率的方法, 该方法精密度和回收率均符合要求。

六甲蜜胺对热不稳定, 易氧化去甲基成五甲蜜胺, 含量下降, 实验过程中应尽量避高温。由于六甲蜜胺几乎不溶于水, 在将脂质体破坏后测定药物浓度时, 本文没有采用传统的加入 Triton - X 100 溶液破坏方法, 而是直接用流动相稀释。由于流动相是甲醇、乙腈和水的混合液, 可以直接破坏脂质体结构, 同时使六甲蜜胺溶解。

配制 10 mg · L⁻¹ 的六甲蜜胺甲醇溶液, 以甲醇

为空白对照, 在 200 ~ 400 nm 波长范围内进行紫外扫描^[10,11], 结果表明六甲蜜胺在 228 nm 处有最大吸收波长, 故本文选择 228 nm 作为检测波长。

曾对流动相甲醇 - 水 (90:10)、甲醇 - 水 (80:20)、乙腈 - 水 (80:20)、乙腈 - 水 (70:30)、乙腈 - 水 (60:10)、甲醇 - 乙腈 - 水 (50:35:15) 进行了考察。结果采用流动相甲醇 - 水时基线不够平稳, 乙腈 - 水 (70:10) 出峰时间适宜且基线平稳, 但是考虑到成本问题, 因此考虑选择甲醇和乙腈以及水混合的流动相。

参考文献

- Lee CR, Faulds D. Altretamine: A review of its pharmacodynamic properties, and therapeutic potential in cancer chemotherapy. *Dugs*, 1995, 49(6): 932
- Wharton JT. Hexamethylmelamine (altretamine) activity as a single agent in previously untreated advanced ovarian cancer. *Cancer Treat Rev*, 1991, 18 (Suppl A): 15
- WANG Jian-dong (王建东). The prospect of altretamine for treating ovarian cancer (六甲蜜胺治疗卵巢癌的研究进展). *Foreign Med Sci (Cancer Sect)* (国外医学肿瘤学分册), 2001, 28 (5): 387
- Miller J, McGovern M, Ames M. Effect of a hepatic activation system on the antiproliferative activity of hexamethylmelamine against human tumor cell lines. *Cancer Chem Pharm*, 1985, 15: 49
- Runhaar EA, Neijt JP, Holthuis JM, et al. The bioavailability of three altretamine formulations. *Pharm Weekbl Sci*, 1989, 11: 218
- Klippert PJM, Hulshoff A, Mingels M - JJ, et al. Low oral metabolism of hexamethylmelamine in the rat due to simultaneous hepatic and intestinal metabolism. *Cancer Res*, 1983, 43: 3160
- Gregoriadis G. Liposome Technology. Second Edition. London England: CRC Press, Inc., 1992. 123
- ZHU Mei-fang (朱梅芳), JIN Peng (金鹏). Ultraviolet spectrophotometry for detecting the content of altretamine tablets (紫外分光光度法测定六甲蜜胺片的含量). *Jiangsu Pharm Clin Res* (江苏药学与临床研究), 2002, 10(2): 16
- WANG Rui-qin (王瑞芹), HU Xiang-qing (胡向青), LIU Jiang (刘江). Investigation of dissolution rate of altretamine tablets (六甲蜜胺片的溶出速度考察). *Chin J Hosp Pharm* (中国医院药学杂志), 2005, 25(4): 380
- WANG Xiu-min (王秀敏), DENG Ying-jie (邓英杰), HAO Yan-li (郝艳丽), et al. Determination of entrapment efficiency of elemene liposome by minicolumn centrifugation - gas chromatography (微柱离心 - 气相色谱法测定 - 檀香烯脂质体包封率). *J Shenyang Pharm Univ* (沈阳药科大学学报), 2004, 21(6): 16
- Fry DW, White C, Goldman DJ. Rapid separation of low molecular weight solutes from liposomes without dilution. *Anal Biochem*, 1978, 90: 809

(本文于 2007 年 11 月 26 日收到)